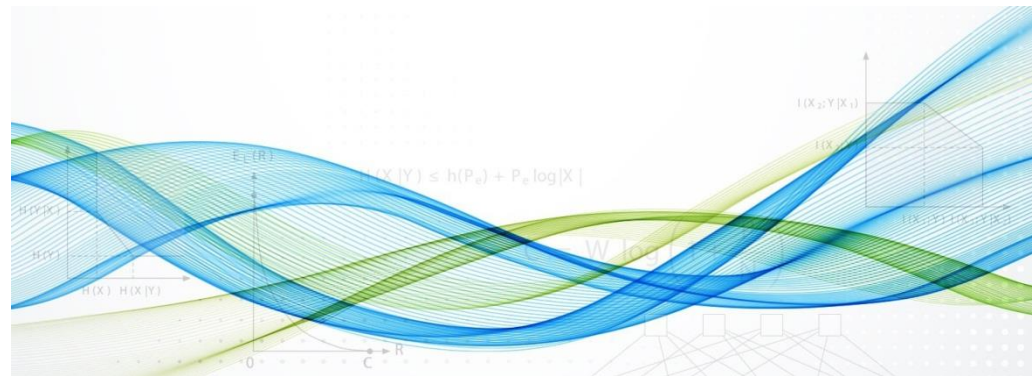




MicroCAD-2024

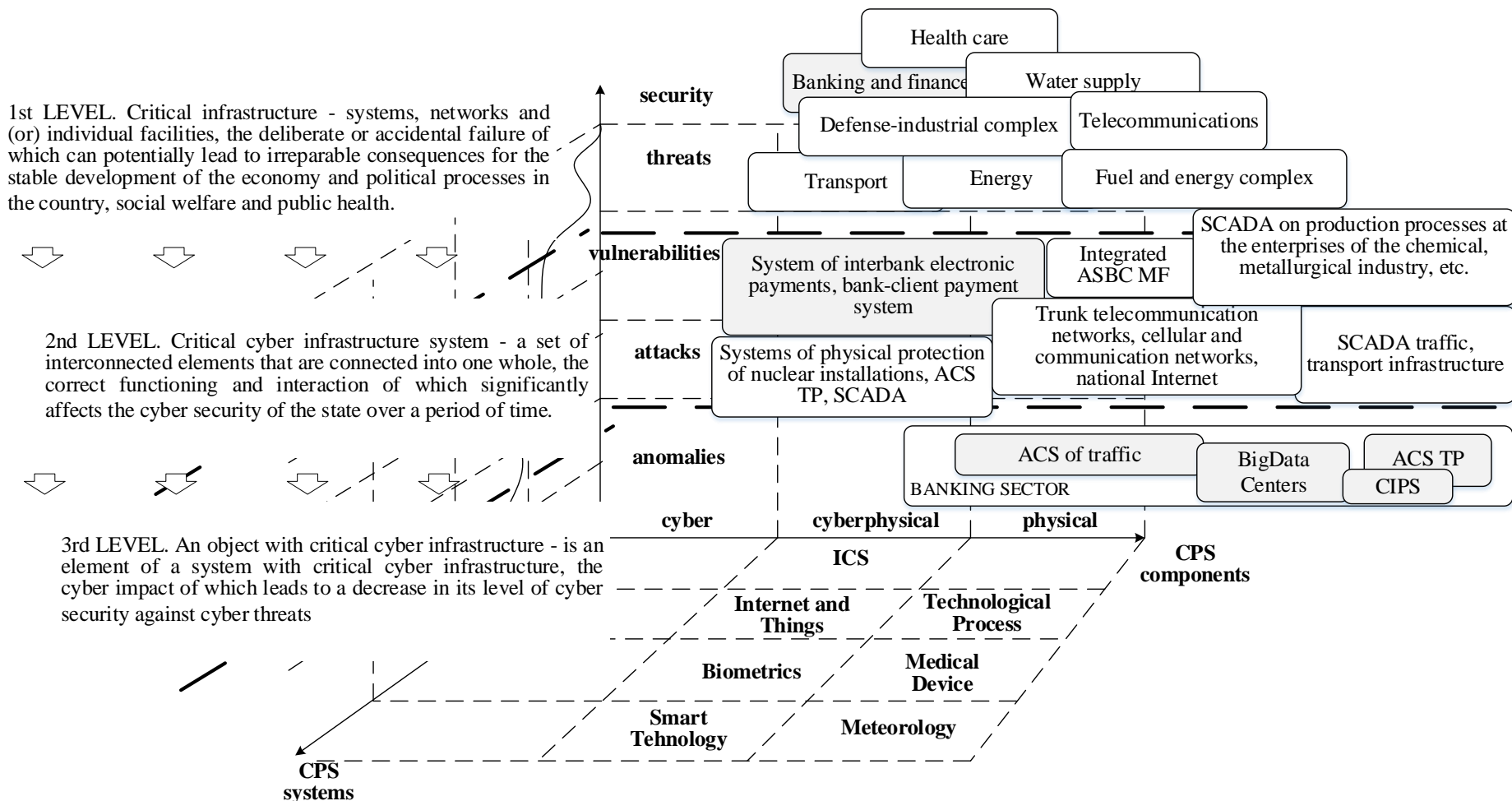
Методологія побудови багатоконтурної системи безпеки у соціокіберфізичних системах

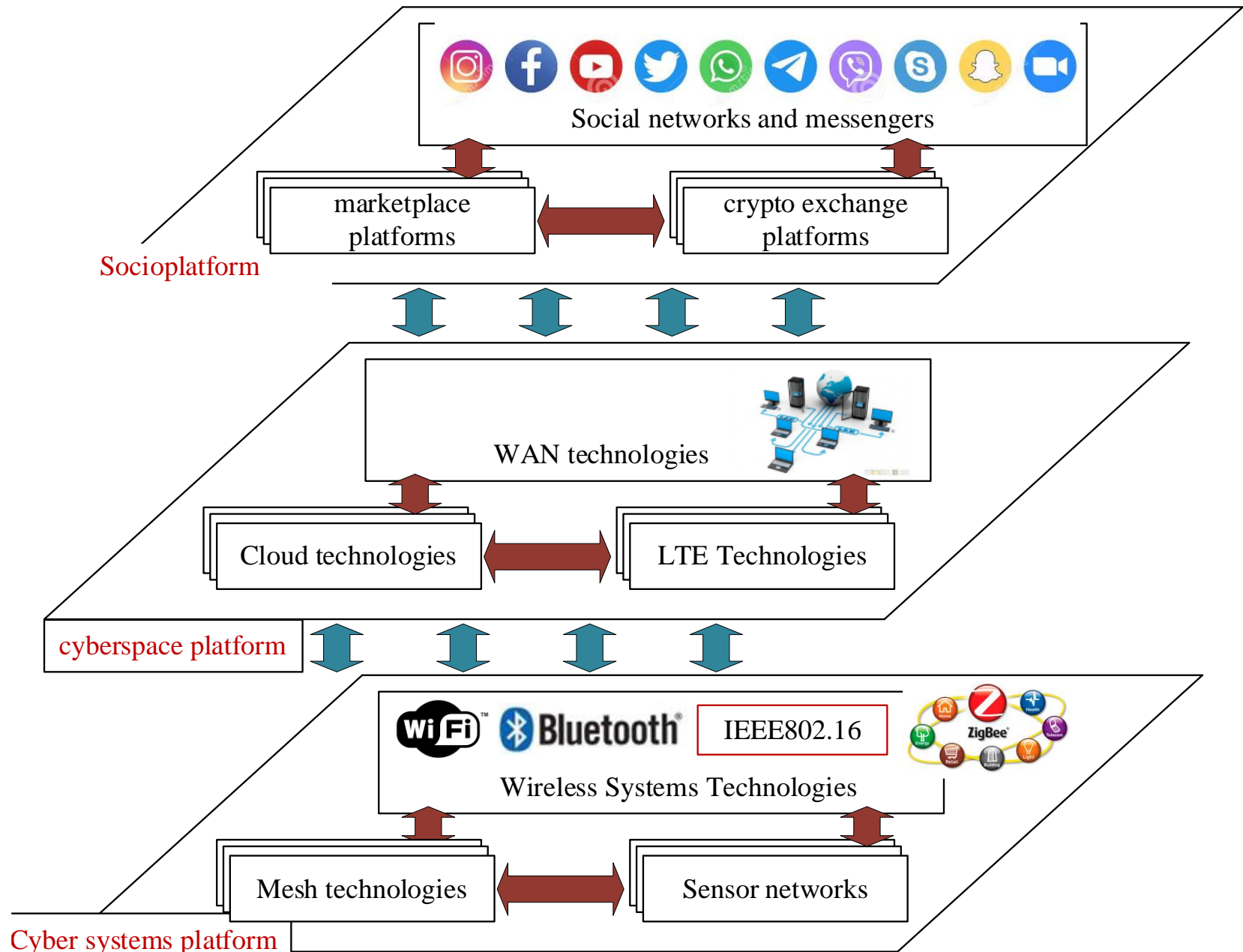
Serhii Yevseiev
Olena Akhiezer

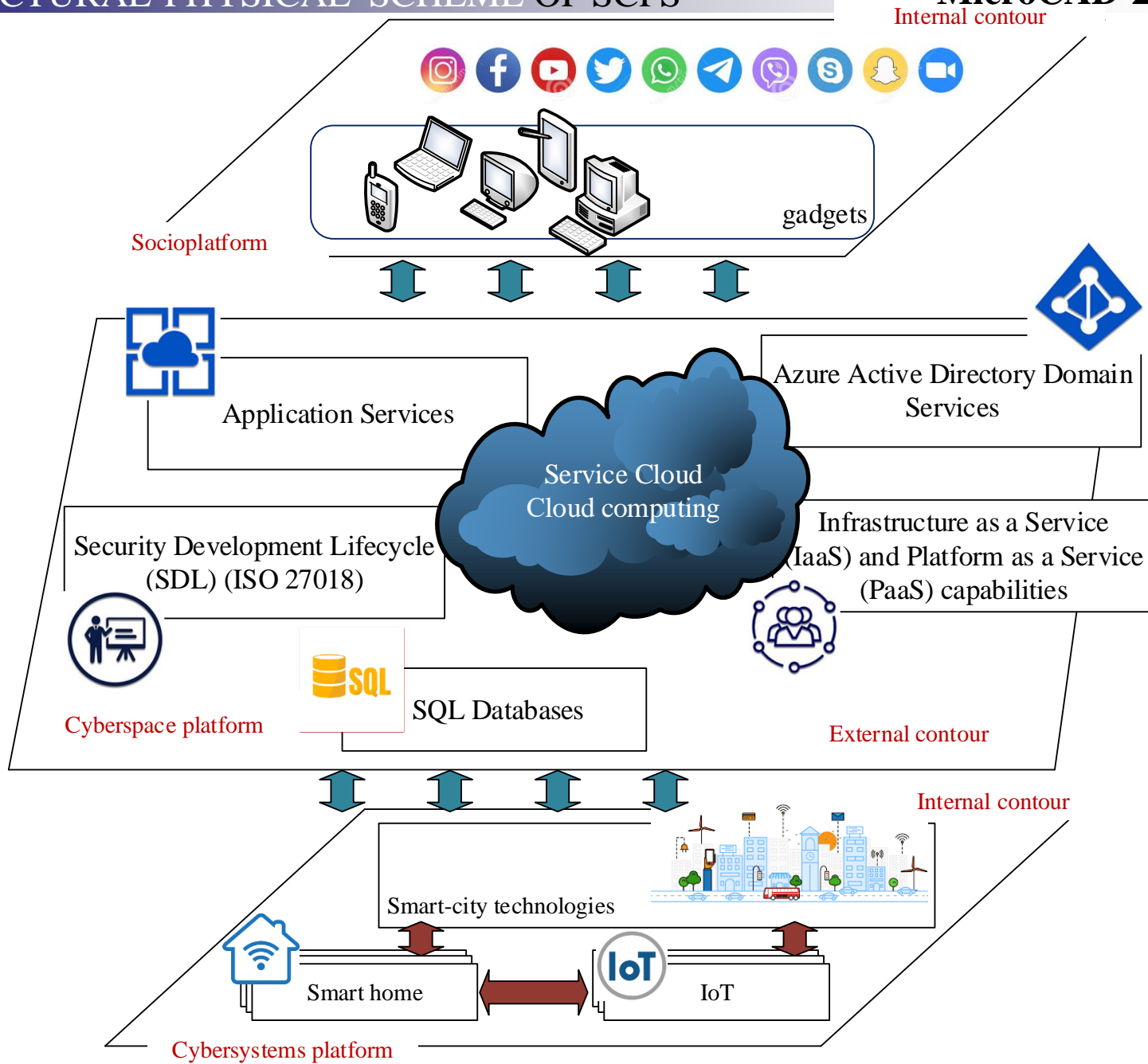


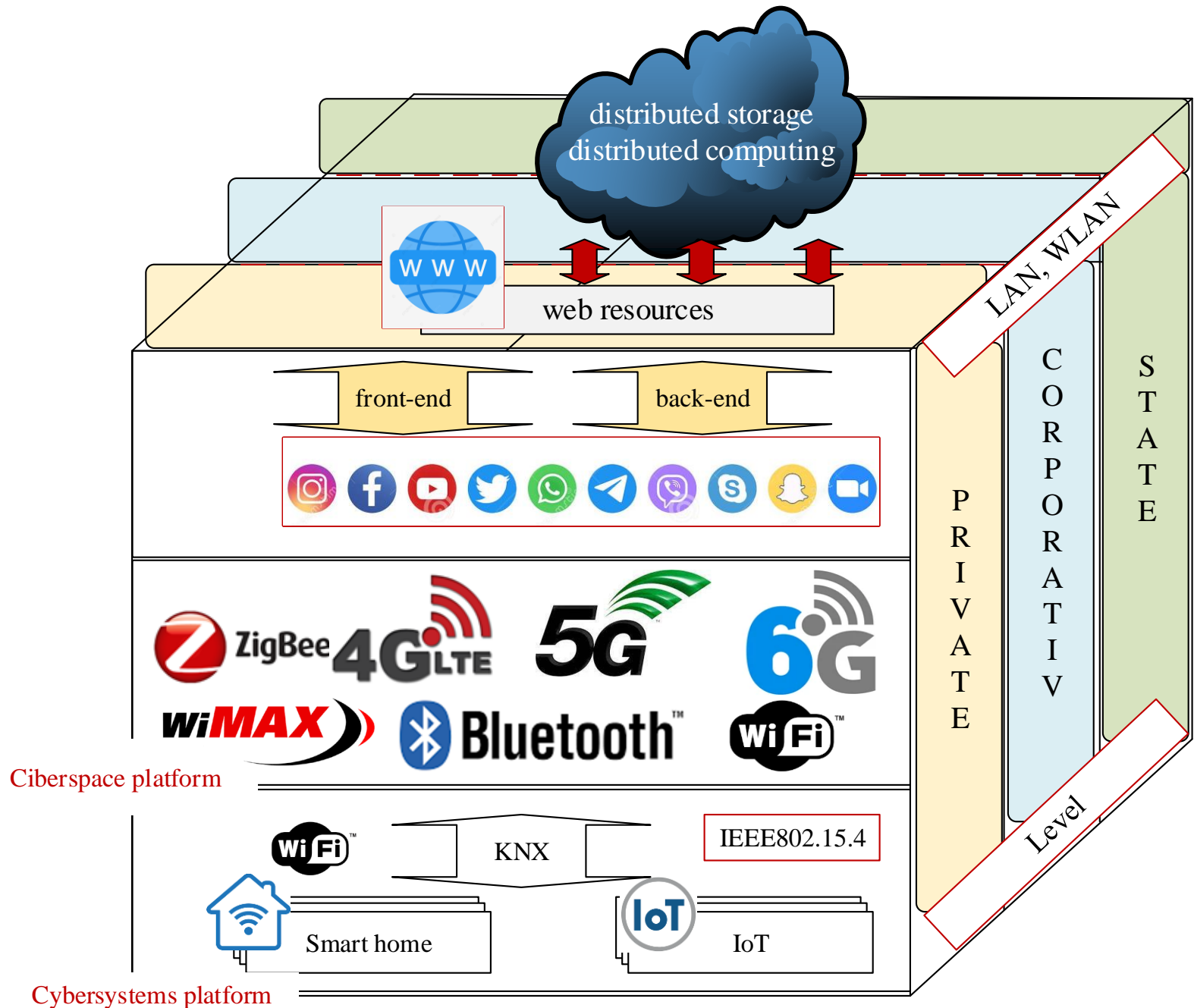


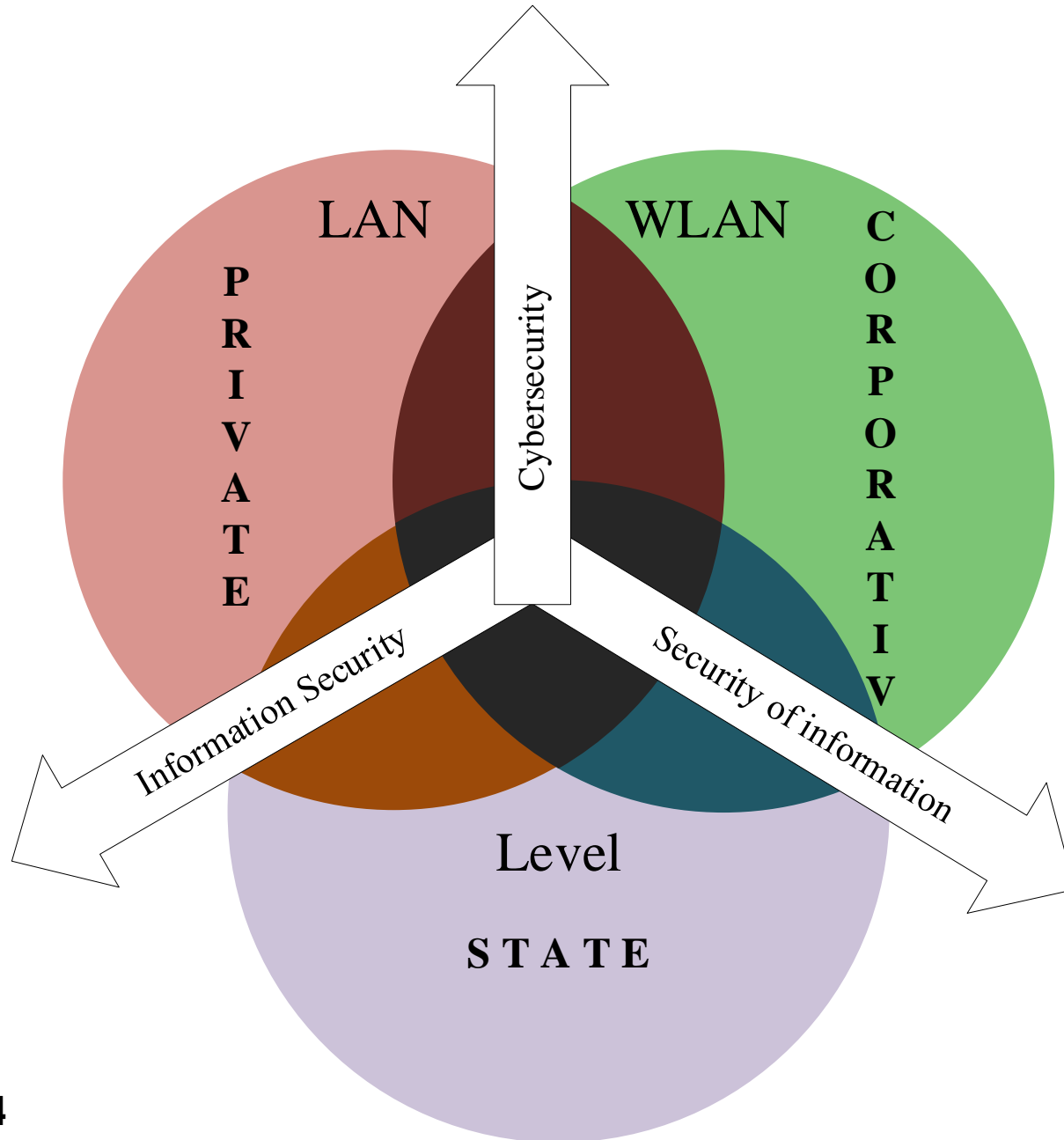
The scheme of interconnection of the structure with CCIS, on the example of organizations in the transport sector











CLASSIFIER OF THREAT OF INFORMATION RESOURCES SCPS

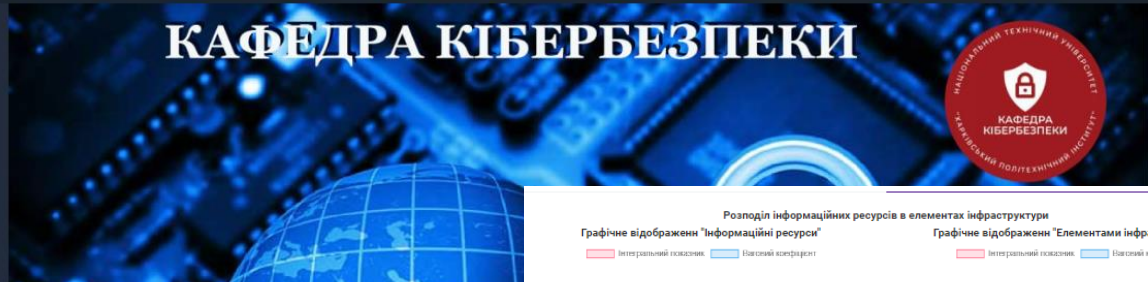
Увійти

Електронна пошта

Пароль

Вхід

Створити аккаунт



Синергія класифікатора загроз

Вагові коефіцієнти загроз (Всі поля повинні бути заповнені!)

Номер загрози: **Перейти**

Рівень критичності реалізації загрози

Критична Висока Середній Низька Дуже Низька

Стан забезпечення безпеки

Інформаційна безпека Кібербезпека Безпека інформації

Послуги безпеки (0 - min, 9 - max)

Конфіденційність

Цілісність

Автентичність

Доступність

Приналежність

Характер спрямованості загрози

Select...

Рівень інфраструктури ISO/OSI

Select...

Загрози соціальної інженерії

Select...

Контур загрози

Внутрішня Зовнішня Зовнішня та Внутрішня

Категорія об'єкта критичної інфраструктури

Select...

Інформація про

№1 з 220

Опис

Загроза полягає в можливості, що використовується в IT-технології штучного інтелекту, розмежування доступу в навчання, безпосередньо

Джерело: Внутрішній

Взаємодія: Програмне забезпечення

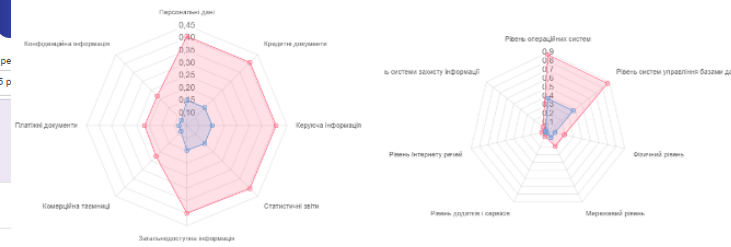
Об'єкти: навчання; моделі

Введіть опис загрози **Очистити фільтр** **Використати мінімальне значення** **Використати середнє значення**

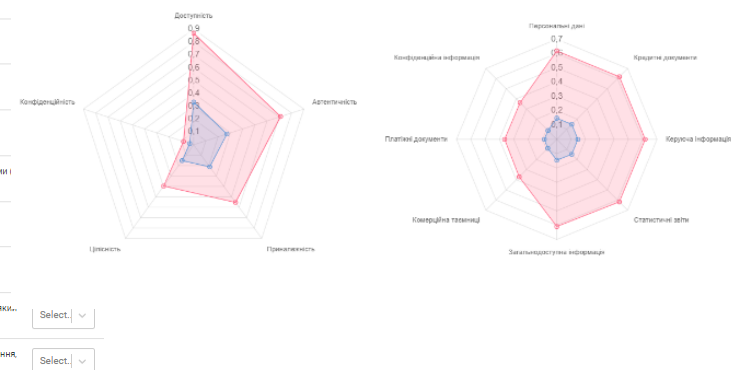
Обрати ваговий коефіцієнт для всіх загроз (імовірність реалізації загрози проявляється не частіше ніж один раз на 5 р)

Кортек загроз	Заголовок загрози
03.01.02.01.02.05.03.04	Загроза заміни моделі машинного навчання
02.01.02.01.07.01.03.04	Загроза модифікації моделі машинного навчання шляхом спотворення (-отруєння) навчальних даних
02.02.02.02.02.01.02.04	Загроза порушення функціонування (обіду) засобів, що реалізують технології штучного інтелекту
02.02.01.01.05.03.03.04	Загроза розкрадання навчальних даних
01.01.02.01.05.01.03.07	Загроза розкриття інформації про модель машинного навчання
02.02.05.01.02.01.02.04	Загроза використання скомпрометованого довіреного джерела оновлень програмного забезпечення Загроза визначення топології обчислювальної мережі
02.02.03.01.05.01.02.05	Загроза отримання несанкціонованого доступу до програм, встановлених на Smart-картах
02.02.05.02.05.02.02.04	Загроза несанкціонованого доступу до системи за допомогою сторонніх сервісів
03.02.03.01.03.04.01.04	Загроза несвоєчасного виявлення та реагування компонентами інформаційної (автоматизованої) системи тому числі засобами захисту інформації) на події безпеки інформації
02.02.01.01.05.01.02.05	Загроза обіду багатфакторної автентифікації
02.02.01.01.07.01.01.04	Загроза перехоплення управління інформаційною системою
03.02.05.01.03.03.01.04	Загроза використання неперевіраних даних користувача при формуванні конфігураційного файлу, який використовується програмним забезпеченням адміністрування інформаційних систем
02.02.03.01.03.01.01.04	Загроза порушення роботи інформаційної системи, спричиненою оновленням програмного забезпечення, що використовується в ній

Розподіл інформаційних ресурсів в елементах інфраструктури
Графічне відображення "Інформаційні ресурси"
Графічне відображення "Елементами інфраструктури"



Забезпечення послуг безпеки для інформаційних ресурсів
Графічне відображення "Послуги безпеки"
Графічне відображення "Інформаційні ресурси"



– *threats of the internal contour, taking into account the hybridity and synergy of threats* for the **1st platform** – social networks:

$$W_{\text{hybrid } C, I, A, Au, Af \text{ synerg}_{1\text{platform}}}^{SS \text{ ISL}} = W_{\text{synerg}_{1\text{platform}}}^{SS \text{ ISL}} \quad C \quad \cap \quad W_{\text{synerg}_{1\text{platform}}}^{SS \text{ ISL}} \quad I$$

$$\cap W_{\text{synerg}_{1\text{platform}}}^{SS \text{ ISL}} \quad A \quad \cap W_{\text{synerg}_{1\text{platform}}}^{SS \text{ ISL}} \quad Au \quad \cap W_{\text{synerg}_{1\text{platform}}}^{SS \text{ ISL}} \quad Inv ,$$

– *threats of the internal contour, taking into account the hybridity and synergy of threats* for the **2nd platform** – cyberspace:

$$W_{\text{hybrid } C, I, A, Au, Af \text{ synerg}_{2\text{platform}}}^{CS \text{ ISL}} = W_{\text{synerg}_{2\text{platform}}}^{CS \text{ ISL}} \quad C \quad \cap \quad W_{\text{synerg}_{2\text{platform}}}^{CS \text{ ISL}} \quad I$$

$$\cap W_{\text{synerg}_{2\text{platform}}}^{CS \text{ ISL}} \quad A \quad \cap W_{\text{synerg}_{2\text{platform}}}^{CS \text{ ISL}} \quad Au \quad \cap W_{\text{synerg}_{2\text{platform}}}^{CS \text{ ISL}} \quad Inv ,$$

– *threats of the internal contour, taking into account the hybridity and synergy of threats* for the **3rd platform** – cyber-physical systems:

$$W_{\text{hybrid } C, I, A, Au, Af \text{ synerg}_{3\text{platform}}}^{CPS \text{ ISL}} = W_{\text{synerg}_{3\text{platform}}}^{CPS \text{ ISL}} \quad C \quad \cap \quad W_{\text{synerg}_{3\text{platform}}}^{CPS \text{ ISL}} \quad I$$

$$\cap W_{\text{synerg}_{3\text{platform}}}^{CPS \text{ ISL}} \quad A \quad \cap W_{\text{synerg}_{3\text{platform}}}^{CPS \text{ ISL}} \quad Au \quad \cap W_{\text{synerg}_{3\text{platform}}}^{CPS \text{ ISL}} \quad Inv ,$$

General assessment of threats of the internal contour, taking into account the technologies of the socio-cyber-physical system

$$W_{ISL}^{CPSS} = W_{\text{hybrid } C, I, A, Au, Af \text{ synerg}_{1\text{platform}}}^{SS \text{ ISL}} \cup W_{\text{hybrid } C, I, A, Au, Af \text{ synerg}_{2\text{platform}}}^{CS \text{ ISL}} \cup W_{\text{hybrid } C, I, A, Au, Af \text{ synerg}_{3\text{platform}}}^{CPS \text{ ISL}}$$

General assessment of threats of the internal contour, taking into account the form of ownership of the elements and technologies of the socio-cyber-physical system

$$W_{ISL}^{CPSS} = W_{ISL}^{CPSS}_{\text{private.}} \cup W_{ISL}^{CPSS}_{\text{state}} \cup W_{ISL}^{CPSS}_{\text{corporativ}},$$

General assessment of threats of the internal contour, taking into account the technologies of the socio-cyber-physical system

$$W_{ESL}^{CPSS} = W_{\text{hybrid } C, I, A, Au, Af \text{ synerg}_{1\text{platform}}}^{SS \text{ ESL}} \cup W_{\text{hybrid } C, I, A, Au, Af \text{ synerg}_{2\text{platform}}}^{CS \text{ ESL}} \cup W_{\text{hybrid } C, I, A, Au, Af \text{ synerg}_{3\text{platform}}}^{CPS \text{ ESL}}$$

General assessment of threats of the internal contour, taking into account the form of ownership of the elements and technologies of the socio-cyber-physical system

$$W_{ESL}^{CPSS} = W_{ESL}^{CPSS}_{\text{private.}} \cup W_{ESL}^{CPSS}_{\text{state}} \cup W_{ESL}^{CPSS}_{\text{corporativ}},$$

generalized assessment of a multicontour security system, we use the formula

$$W_{\text{final}}^{CPSS} = W_{ISL_{\text{general}}}^{CPSS} \cup W_{ESL_{\text{general}}}^{CPSS}.$$

general (current) level of socio-cyber-physical systems security based on wireless mobile technologies is described by the expression:

– for additive convolution

$$L_{W_{\text{security}}^{CPSS}} = L_{ISL} \sum_{j=1}^3 \sum_{i=1}^{12} (I_{A_{ij}} \times \beta_{ij}) + L_{ESL} \sum_{j=1}^3 \sum_{i=1}^{12} (I_{A_{ij}} \times \beta_{ij}).$$

– for multiplicative convolution

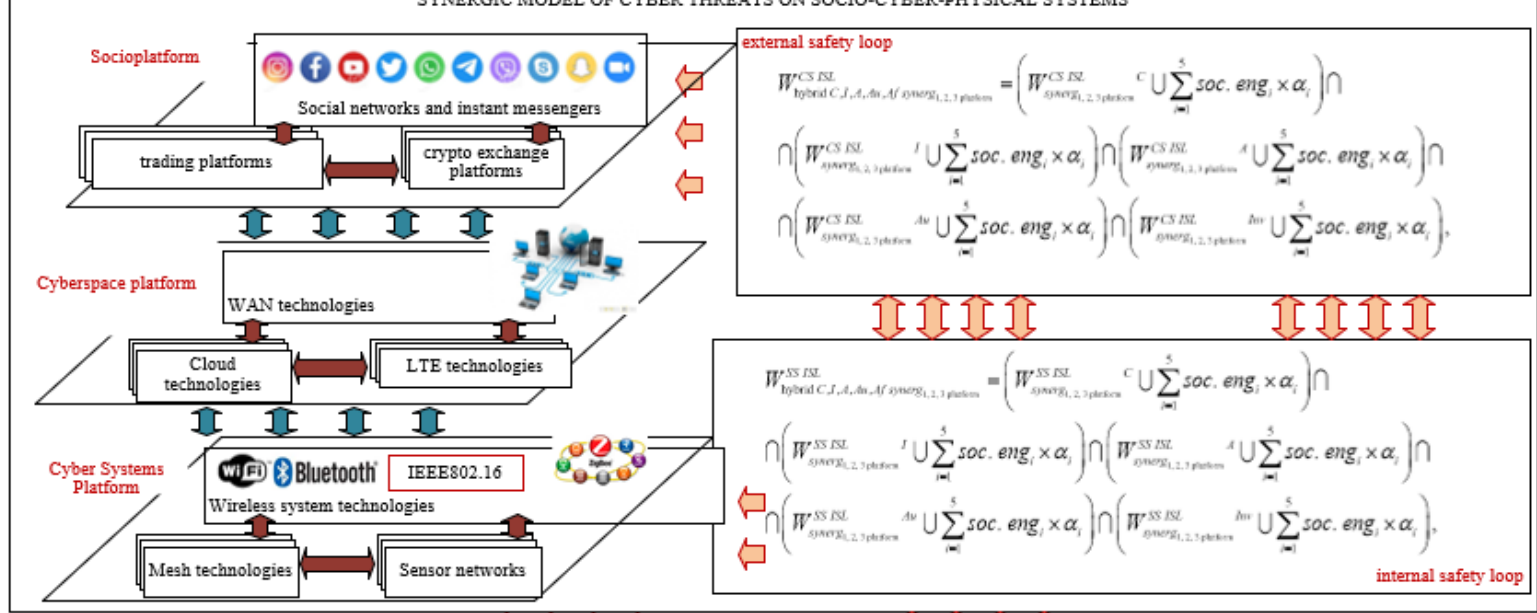
$$L_{W_{\text{security}}^{CPSS}} = 1 - \left[1 - L_{ISL} \sum_{j=1}^3 \sum_{i=1}^{12} (I_{A_{ij}} \times \beta_{ij}) \right] \times \left[1 - L_{ESL} \sum_{j=1}^3 \sum_{i=1}^{12} (I_{A_{ij}} \times \beta_{ij}) \right].$$

β_i – a metric of the ratio of time and information confidentiality degree for an asset (critical – 1,0; high – 0,75; medium – 0,5; low – 0,25; very low – 0,01)

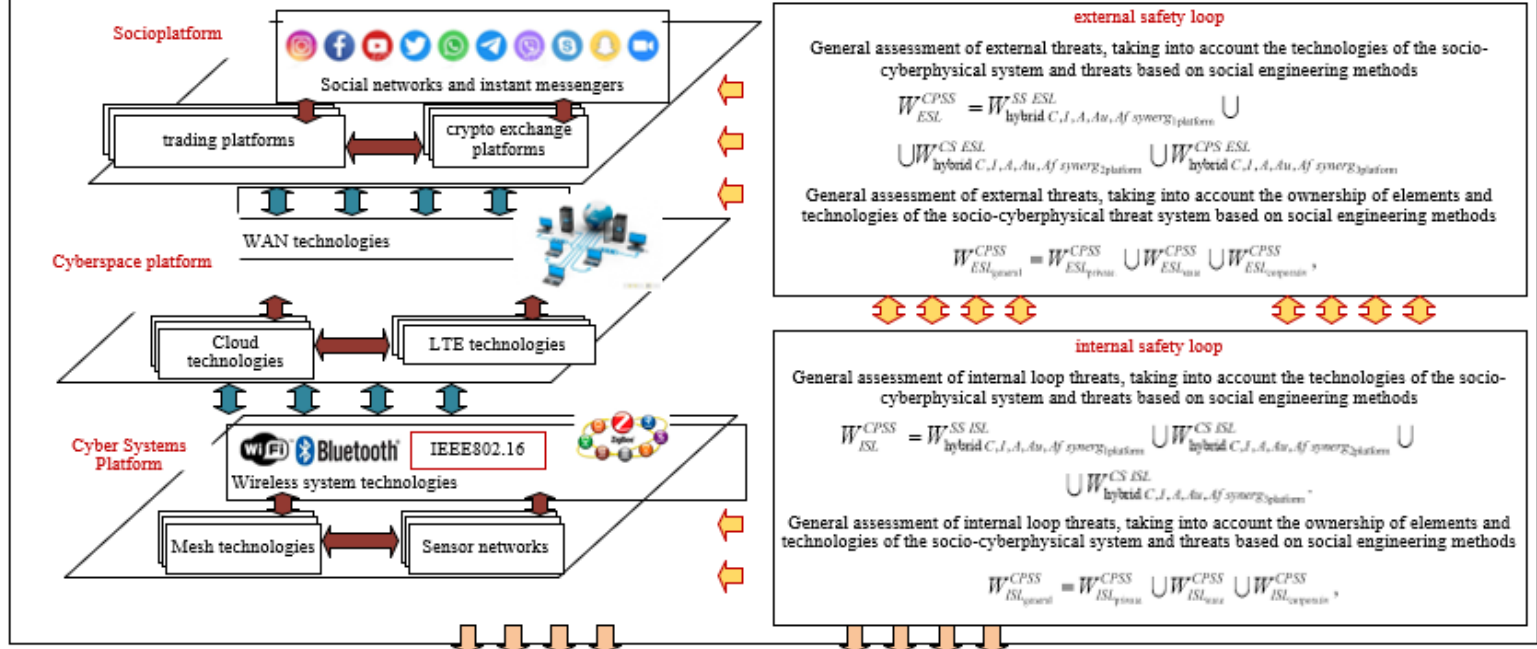
SYNERGIC MODEL OF CYBER THREATS ON SOCIO-CYBER-PHYSICAL SYSTEMS

SYNERGIC CLASSIFIER OF CYBER THREATS

XX
XX
XX
XX
XX
XX
XX
XX



EMERGENCY MODEL FOR DETERMINING SYNERGY AND HYBRIDITY OF TARGETED ATTACKS ON SOCIO-CYBER-PHYSICAL SYSTEMS



GENERALIZED ASSESSMENT OF A MULTI-LOOP SAFETY SYSTEM

$$W_{\text{final}}^{SPS} = W_{\text{general}}^{SPS} \cup W_{\text{general}}^{SPS}$$

MODELS OF INFLUENCE IN SOCIO-CYBERPHYSICAL SYSTEMS

$$P(Y_i = 1) = \text{logistic}(b_0 + b_1 X_1 + b_2 X_2 + \dots + b_n X_n)$$

BLOCK DIAGRAM OF THE SCPS SAFETY ASSESSMENT METHOD BASED ON THE LOTKA-VOLTERRA “PREDATOR-PREY” MODEL”



DEVELOPMENT OF SECURITY SYSTEMS BASED ON LOTKA-VOLTERRA

Модель безпеки CPS, що розвивається, з урахуванням обчислювальних можливостей і спрямованості цільових кібератак

$$\left\{ \begin{aligned} \frac{dN_1}{dt} &= \left(\arg \max_{\forall Tr_i \in Tr_C^D} K_l^D \times K_l^A \right) \times \left(\sum_{i=1}^Q \left(N_{1_i}^C \times A_i^C + N_{1_i}^I \times A_i^I + N_{1_i}^A \times A_i^A + \right. \right. \\ &\quad \left. \left. + N_{1_i}^{Au} \times A_i^{Au} + N_{1_i}^{Aff} \times A_i^{Aff} \right) \right) - \\ &\quad - \left(\sum_{i=1}^M \left(w_{CPSi}^C \cap w_{CPSi}^I \cap w_{CPSi}^A \cap \right. \right. \\ &\quad \left. \left. \cap w_{CPSi}^{Au} \cap w_{CPSi}^{Aff} \right) \chi_i^{CPS} \right) \times \tilde{N}_1 \left(N_2 \times |W_{\text{hybrid } C,I,A,Au,Af \text{ synerg}}| \right); \\ \frac{dN_2}{dt} &= - \left(\frac{1}{M} \sum_{i=1}^M v_i \times p_{rj} \times r_{motiv} \right) \tilde{N}_2 + \left(\frac{1}{KB} \sum_{k=1}^K \sum_{g=1}^B (\mu_{kg}^j \times w_{kg}^j) \right) \tilde{N}_2 \tilde{N}_1. \end{aligned} \right.$$

Модель безпеки CPS на основі моделі "хижак-жертва" з урахуванням можливої конкуренції зловмисників щодо "жертви"

$$\left\{ \begin{aligned} \frac{dN_1}{dt} &= \left(\arg \max_{\forall Tr_i \in Tr_C^D} K_l^D \times K_l^A \right) \times \left(\sum_{i=1}^Q \left(N_{1_i}^C \times A_i^C + N_{1_i}^I \times A_i^I + N_{1_i}^A \times A_i^A + \right. \right. \\ &\quad \left. \left. + N_{1_i}^{Au} \times A_i^{Au} + N_{1_i}^{Aff} \times A_i^{Aff} \right) \right) - \\ &\quad - \left(\sum_{i=1}^M \left(w_{CPSi}^C \cap w_{CPSi}^I \cap w_{CPSi}^A \cap \right. \right. \\ &\quad \left. \left. \cap w_{CPSi}^{Au} \cap w_{CPSi}^{Aff} \right) \chi_i^{CPS} \right) \times \tilde{N}_1 \left(\tilde{N}_2^1 \cap \tilde{N}_2^2 \cap \dots \cap \tilde{N}_2^w \right); \\ \frac{dN_2}{dt} &= - \left(\frac{1}{M} \sum_{i=1}^M v_i \times p_{rj} \times r_{motiv} \right) \times \left(\tilde{N}_2^1 \cap \tilde{N}_2^2 \cap \dots \cap \tilde{N}_2^w \right) + \left(\frac{1}{KB} \sum_{k=1}^K \sum_{g=1}^B (\mu_{kg}^j \times w_{kg}^j) \right) \times \\ &\quad \times \left(\tilde{N}_2^1 \cap \tilde{N}_2^2 \cap \dots \cap \tilde{N}_2^w \right) \tilde{N}_1, \end{aligned} \right.$$

Модель безпеки CPS на основі моделі “хижак-жертва” з урахуванням можливості групування зломисників/кібергруп з метою досягнення цілей кібератаки

$$\left\{ \begin{aligned} \frac{dN_1}{dt} &= \left(\arg \max_{\forall T_i \in Tr_C^D} K_l^D \times K_l^A \right) \times \left(\sum_{i=1}^Q \left(N_{l_i}^C \times A_i^C + N_{l_i}^I \times A_i^I + N_{l_i}^A \times A_i^A + \right. \right. \\ &\quad \left. \left. + N_{l_i}^{Au} \times A_i^{Au} + N_{l_i}^{Aff} \times A_i^{Aff} \right) \right) - \\ &\quad - \left(\sum_{i=1}^M \left(w_{CPSi}^C \cap w_{CPSi}^I \cap w_{CPSi}^A \cap \right. \right. \\ &\quad \left. \left. \cap w_{CPSi}^{Au} \cap w_{CPSi}^{Aff} \right) \chi_i^{CPS} \right) \tilde{N}_1 \left(\sum_{j=1}^w \tilde{N}_2^w \right); \\ \frac{dN_2}{dt} &= - \left(\frac{1}{M} \sum_{i=1}^M v_i \times p_{rj} \times r_{motiv} \right) \left(\sum_{j=1}^w \tilde{N}_2^w \right) + \left(\frac{1}{KB} \sum_{k=1}^K \sum_{g=1}^B (\mu_{kg}^j \times w_{kg}^j) \right) \left(\sum_{j=1}^w \tilde{N}_2^w \right) \tilde{N}_1, \end{aligned} \right.$$

Модель безпеки CPS на основі моделі “хижак-жертва” з урахуванням взаємозв'язків між “типами жертв” і “типами хижаків”

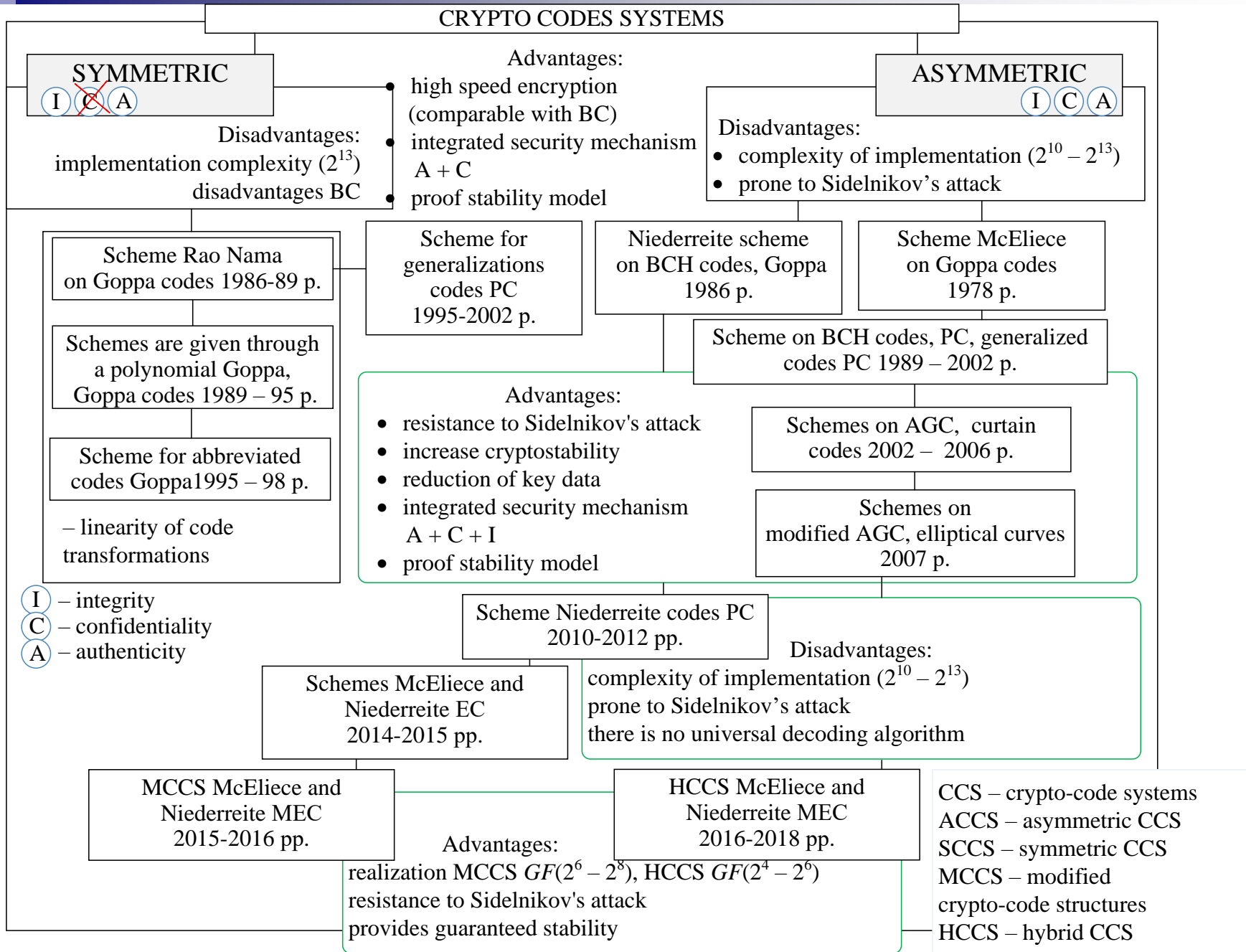
$$\left\{ \begin{aligned} \frac{dN_1}{dt} &= \left(\arg \max_{\forall T_i \in Tr_C^D} K_l^D \times K_l^A \right) \times \left(\sum_{i=1}^Q \left(N_{l_i}^C \times A_i^C + N_{l_i}^I \times A_i^I + N_{l_i}^A \times A_i^A + \right. \right. \\ &\quad \left. \left. + N_{l_i}^{Au} \times A_i^{Au} + N_{l_i}^{Aff} \times A_i^{Aff} \right) \right) - \\ &\quad - \left(\sum_{i=1}^M \left(w_{CPSi}^C \cap w_{CPSi}^I \cap w_{CPSi}^A \cap \right. \right. \\ &\quad \left. \left. \cap w_{CPSi}^{Au} \cap w_{CPSi}^{Aff} \right) \chi_i^{CPS} \right) \times \tilde{N}_1 \left(\sum_{j=1}^w \tilde{N}_2^w \right) - \varepsilon \tilde{N}_2^2; \\ \frac{dN_2}{dt} &= - \left(\frac{1}{M} \sum_{i=1}^M v_i \times p_{rj} \times r_{motiv} \right) \left(\sum_{j=1}^w \tilde{N}_2^w \right) + \left(\frac{1}{KB} \sum_{k=1}^K \sum_{g=1}^B (\mu_{kg}^j \times w_{kg}^j) \right) \left(\sum_{j=1}^w \tilde{N}_2^w \right) \tilde{N}_1 - \xi \tilde{N}_2^2, \end{aligned} \right.$$

Comparative analysis of factorization complexity for classical and quantum algorithms

Module size N, bit	The number of required qubits $2n$	The complexity of the quantum algorithm $4n^3$	The complexity of the classical algorithm
512	1024	$0.54 \cdot 10^9$	$1.6 \cdot 10^{19}$
3072	6144	$12 \cdot 10^{10}$	$5 \cdot 10^{41}$
15360	30720	$1.5 \cdot 10^{13}$	$9.2 \cdot 10^{80}$

The complexity of implementing the Shore method of discrete logarithm of a group of EC points

Algorithm for calculating the discrete logarithmic equation			
The size of the order of the base point, bits	Number of required qubits $f(n) = 7n + 4 \log_2 n + 1$	Complexity of the quantum algorithm $360n^3$	Complexity of the classical algorithm
163	1210	1.6×10^9	3.4×10^{24}
256	1834	6×10^9	3.4×10^{38}
571	4016	6.7×10^{10}	8.8×10^{85}
1024	7218	3.8×10^{11}	1.3×10^{154}



Statement.

Any linear code K with parameters $[n,k,d]$, $d \leq n/2$ has a decoding algorithm within its code distance whose complexity is at most

$$O\left(\min\left(nr^k, n \sum_{j=0}^t \binom{n}{j}\right)\right), \text{ где } t = \left\lfloor \frac{d-1}{2} \right\rfloor$$

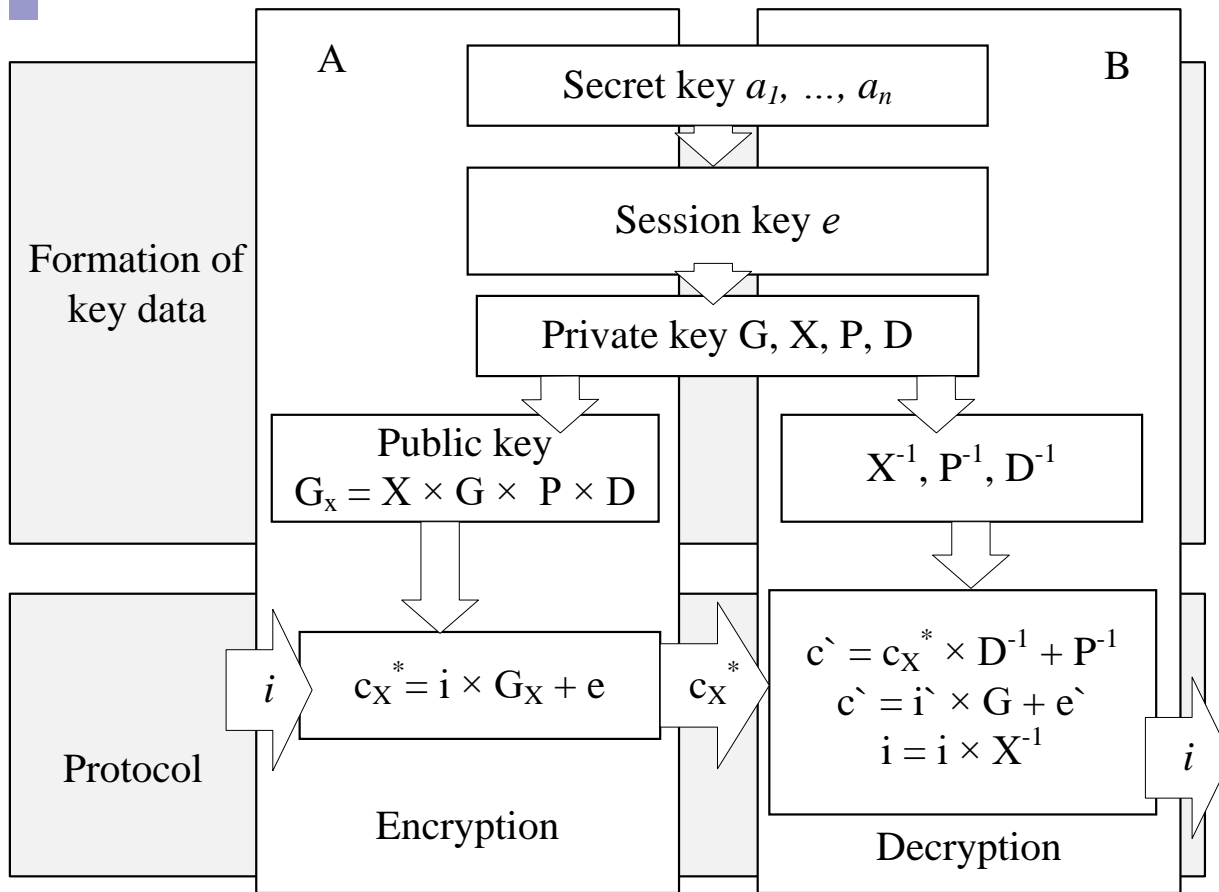
r^k - number of elements in the code;

$O(nr^k)$ - the number of operations required to iterate over all elements of the code;

$\sum_{j=0}^t \binom{n}{j} (r-1)^j$ - number elements in a ball of radius t ;

$\left(n \sum_{j=0}^t \binom{n}{j}\right)$ - the number of operations required

to enumerate all elements of the ball in order to find the code vector



secret (closed) key – matrices $X, P,$ and $D.$

X – non-degenerate $k \times k$ matrix over $GF(q)$,
 P – permutational $n \times n$ matrix over $GF(q)$,
 D – diagonal $n \times n$ matrix over $GF(q)$,
 G^{EC} – generating $k \times n$ matrix of elliptical code over $GF(q)$,

public key – matrix

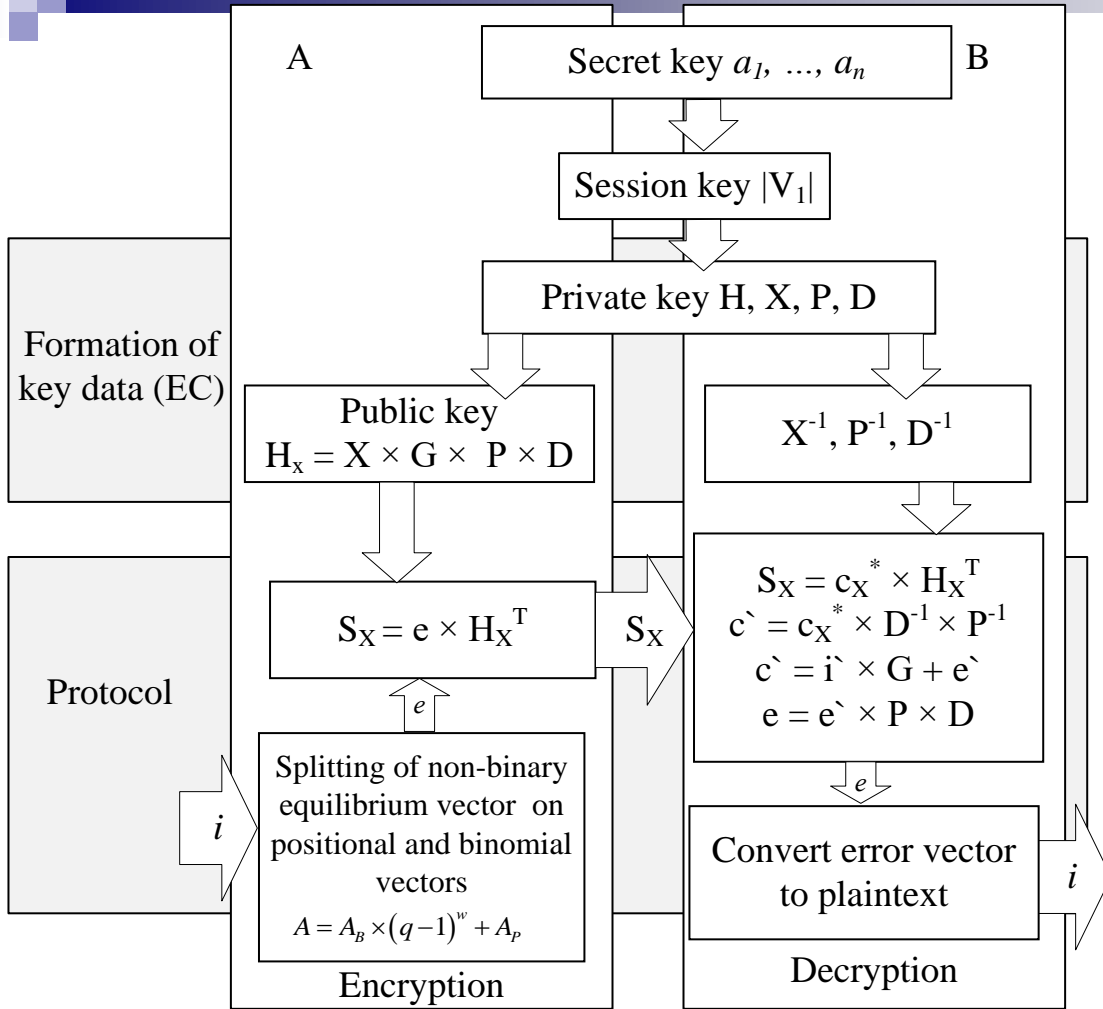
$$G_X^{EC} = X \times G^{EC} \times P \times D$$

Closed information (a codogram)

$$c_X^* = i \cdot G_X^{EC} + e,$$

vector e is the secret weight error vector $\leq t$

An elliptic curve (EC) in the affine space A^2 over field $GF(q)$ is a smooth curve given by equation $y^2 + a_1xy + a_3y = x^3 + a_2x^2 + a_4x + a_6$, or in P^2 given by homogeneous equation $y^2z + a_1xyz + a_3yz^2 = x^3 + a_2x^2z + a_4xz + a_6z^3$, $a_i \in GF(q)$, the genus of the curve $g=1$.



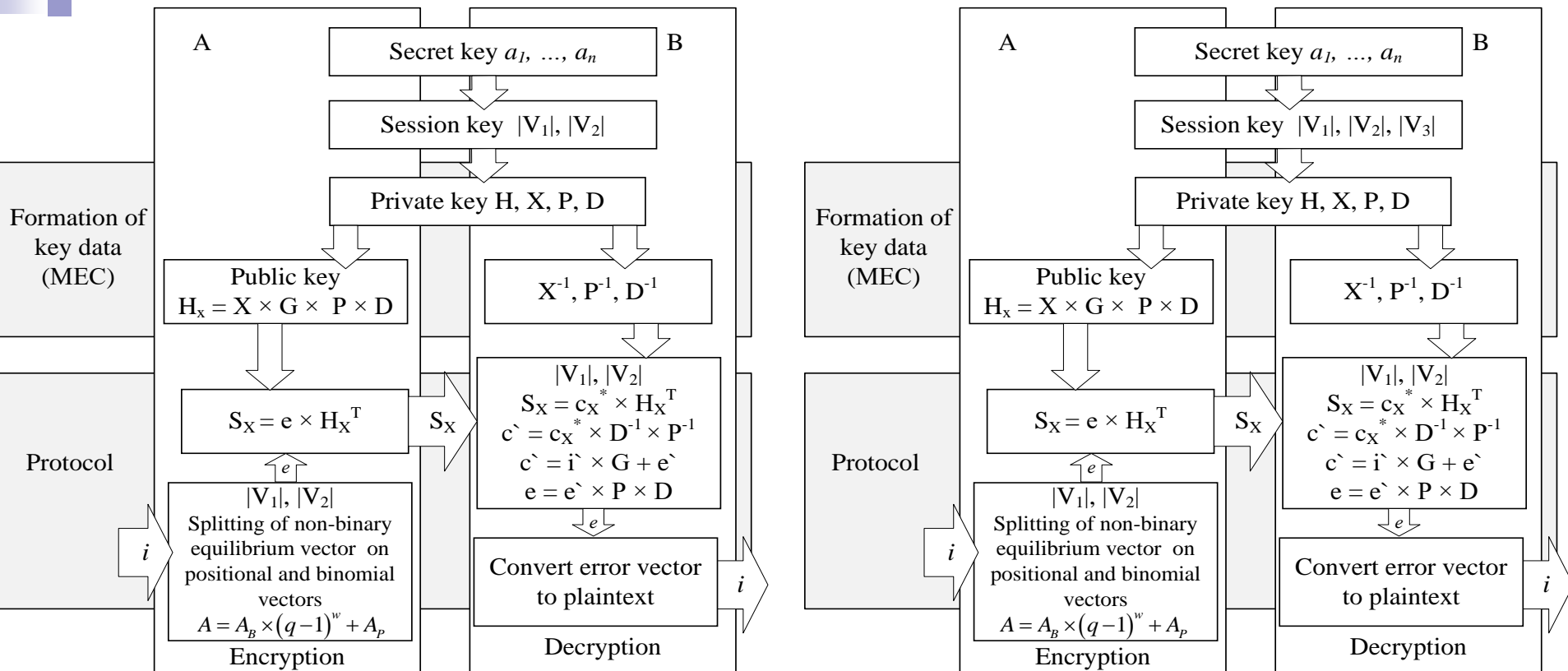
secret (closed) key – matrices $X, P,$ and D .
 X – non-degenerate $k \times k$ matrix over $GF(q)$,
 P – permutational $n \times n$ matrix over $GF(q)$,
 D – diagonal $n \times n$ matrix over $GF(q)$,
 H^{EC} – check $n \times (n-k)$ matrix of an algebra-geometric block (n, k, d) code

public key – matrix
 $H_X^{EC} = X \times H^{EC} \times P \times D,$

Closed information (a codogram)

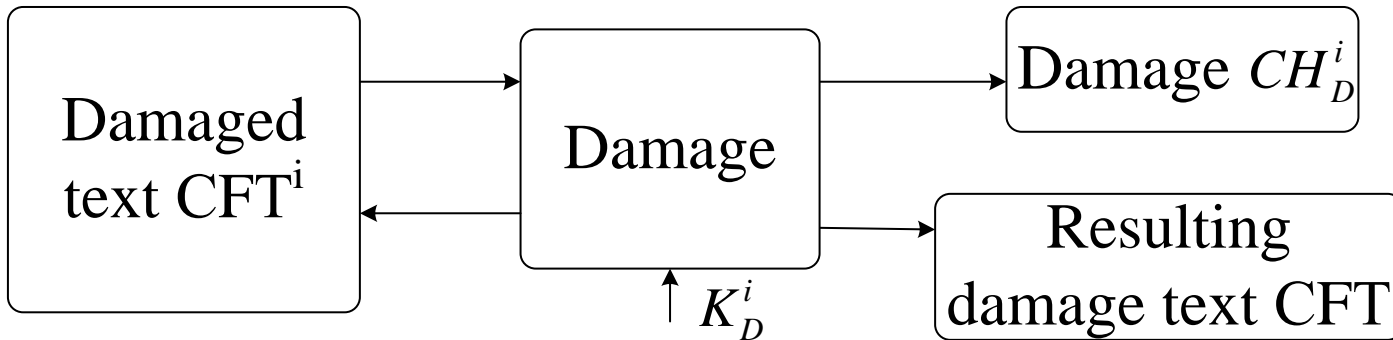
$$S_X = e \cdot (H_X^{EC})^T$$

vector IV_1 (sets of fixed positional sets of clear text $\{M_F\}$).



Dependence of software implementation on field power

Cryptosystems	2^5	2^6	2^7	2^8	2^9	2^{10}
Mc-Elice on the EC	10018042	18048068	32847145	47489784	63215578	82467897
Mc-Elice on the shortened MEC	10007947	17787431	28595014	44079433	61974253	79554764
Mc-Elice on the extended MEC	11156138	18561228	33210708	48297112	65171690	84051337

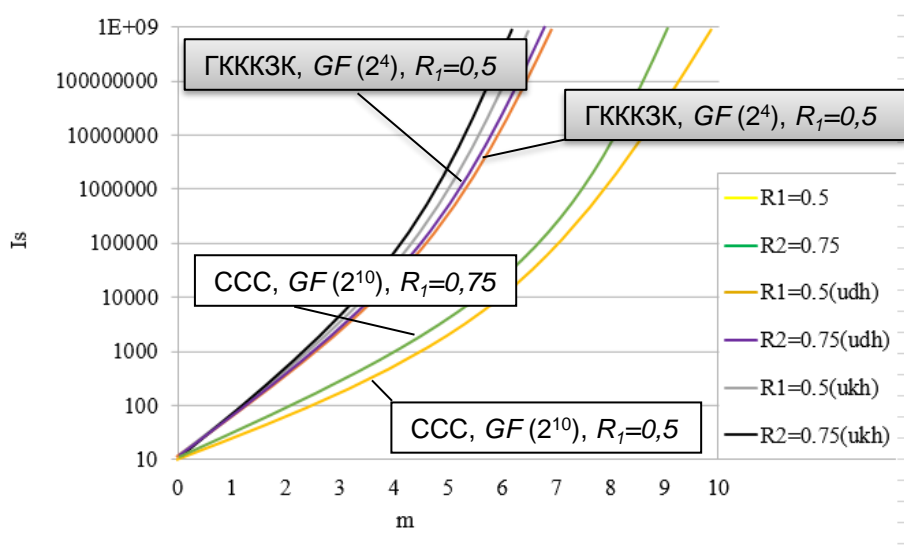
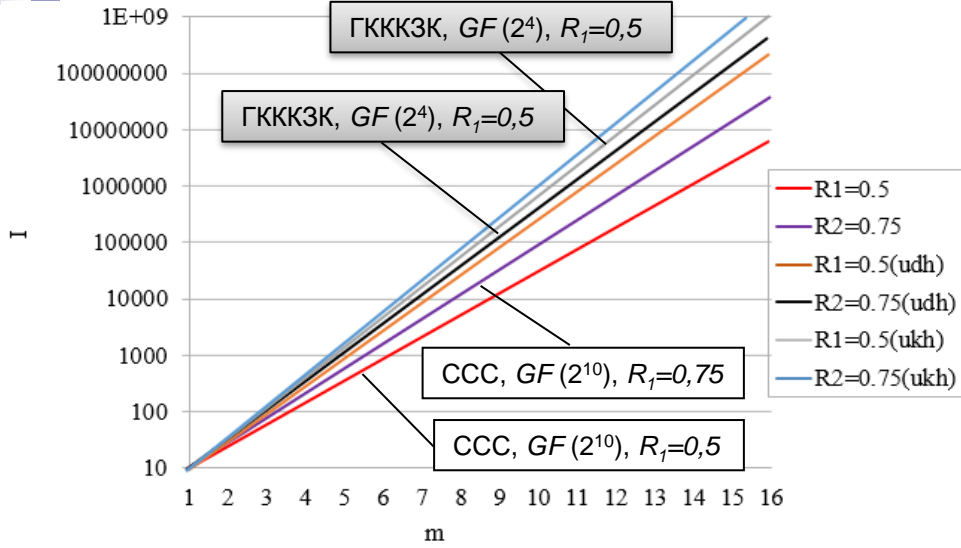


Block diagram of one step of the mechanism of damage

$$B(M) = B_A L_0 = \left(\log N - \frac{H(M)}{L_0} \right) \times L_0,$$

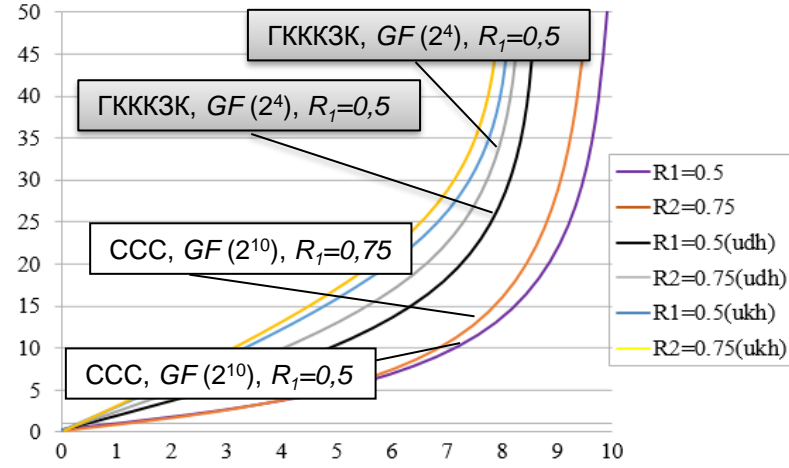
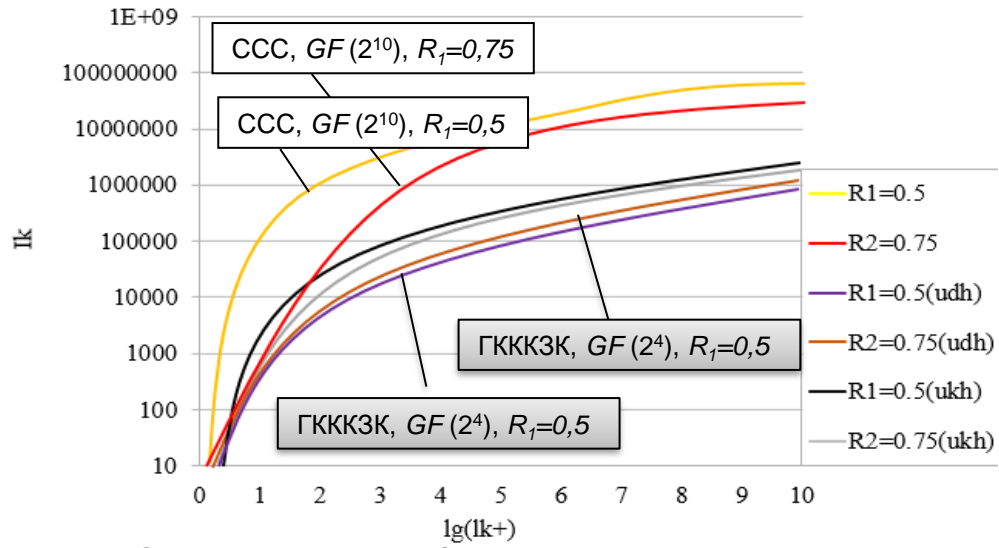
где M – source text; B – language redundancy ($B = R - r$, R – absolute entropy of a language ($R = \log N$, N – alphabet power, r – language entropy per character, $r = H(M)/L$, L – message length M in symbols of the language; $H(M)$ – entropy (uncertainty) of the message; L_0 – message length M in the symbols of the language with meaning; B_A – language redundancy.

VERIFICATION OF THE PROPERTIES OF HYBRID CRYPTO-CODE STRUCTURES



Залежність складності формування криптограми в різних GF (2^m)

Залежність складності розкодування криптограми в різних GF (2^m)



Залежність обсягу відкритих ключових даних

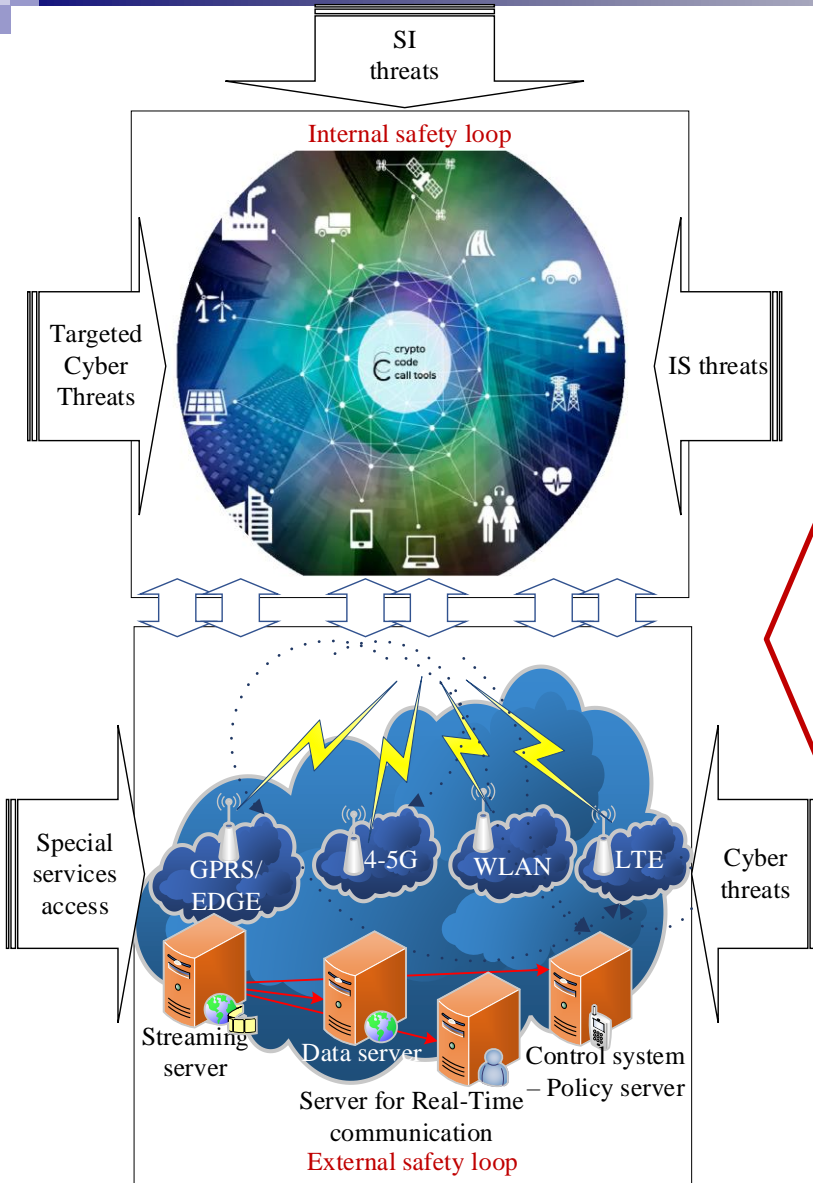
Залежність складності злому

Залежність швидкості програмної реалізації від потужності поля

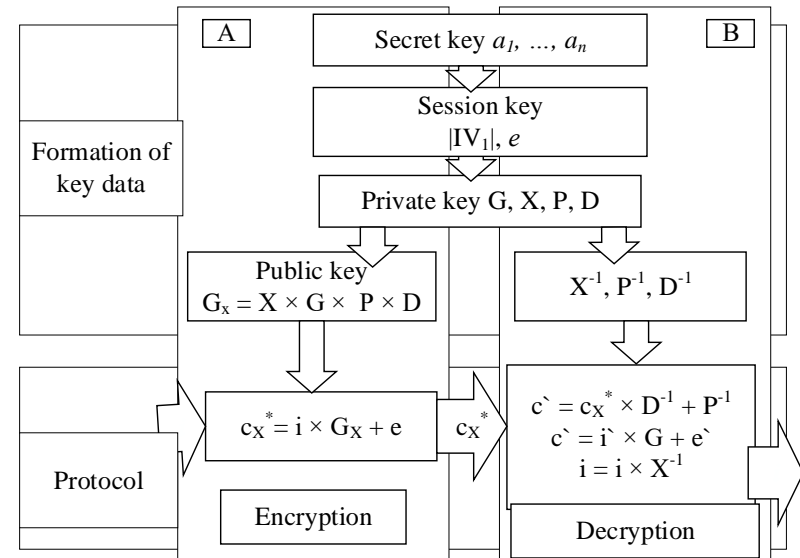
Криптосистеми	$GF(q^m)$						
	2^4	2^5	2^6	2^7	2^8	2^9	2^{10}
ССС Mc-Eliece на укорочених МЕС	8293075	10007947	17787431	28595014	44079433	61974253	79554764
ССС Mc-Eliece на подовжених МЕС	8506422	11156138	18561228	33210708	48297112	65171690	84051337
НССС Mc-Eliece подовжених МЕС	5612316	7900315	14892945	25565274	42279183	58963778	76564173
НССС Mc-Eliece укорочених МЕС	5942627	7905257	14682411	25595014	42116327	58468143	75474764

Результати дослідження статистичної безпеки (NIST STS 822)

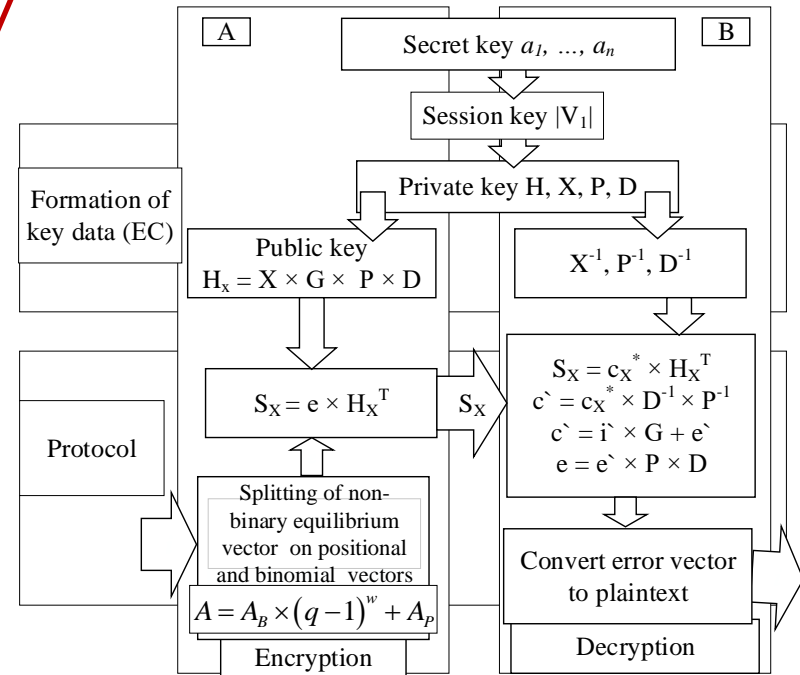
Криптосистеми	Кількість тестів, в яких тестування пройшли більше 99% послідовностей	Кількість тестів, в яких тестування пройшли більше 96% послідовностей	Кількість тестів, в яких тестування пройшли менше 96% послідовностей
ССС Mc-Eliece	149 (78,83%)	189 (100%)	0 (0%)
ССС Mc-Eliece на укорочених МЕС	151 (79,89%)	189 (100%)	0 (0%)
ССС Mc-Eliece на подовжених МЕС	152 (80,42%)	189 (100%)	0 (0%)
НССС Mc-Eliece на подовжених МЕС	153 (80,95%)	189 (100%)	0 (0%)
НССС Mc-Eliece на укорочених МЕС	155 (82 %)	189 (100%)	0 (0%)



<https://www.calltools.ua>



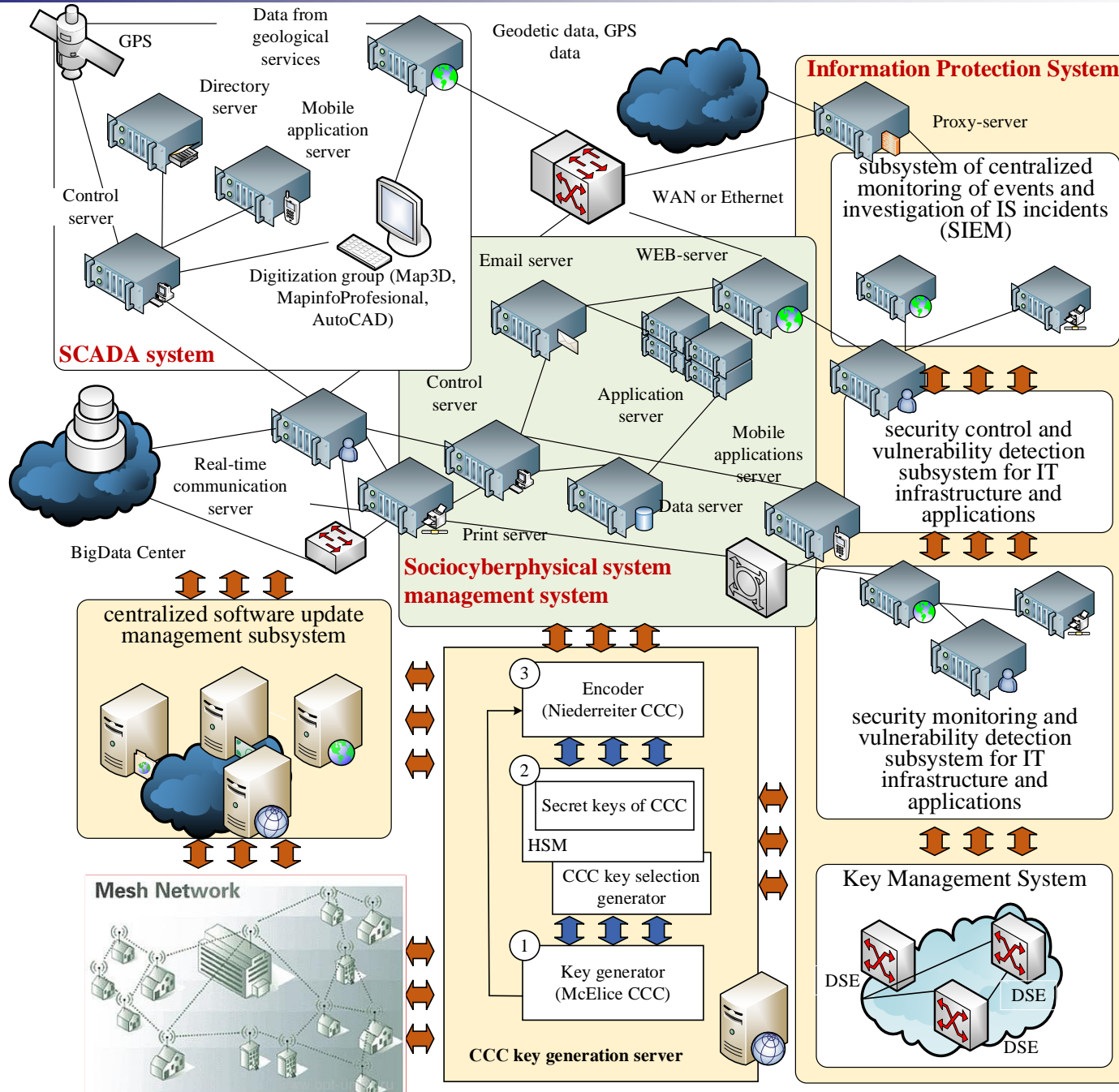
McEliece crypto-code construction on the EC



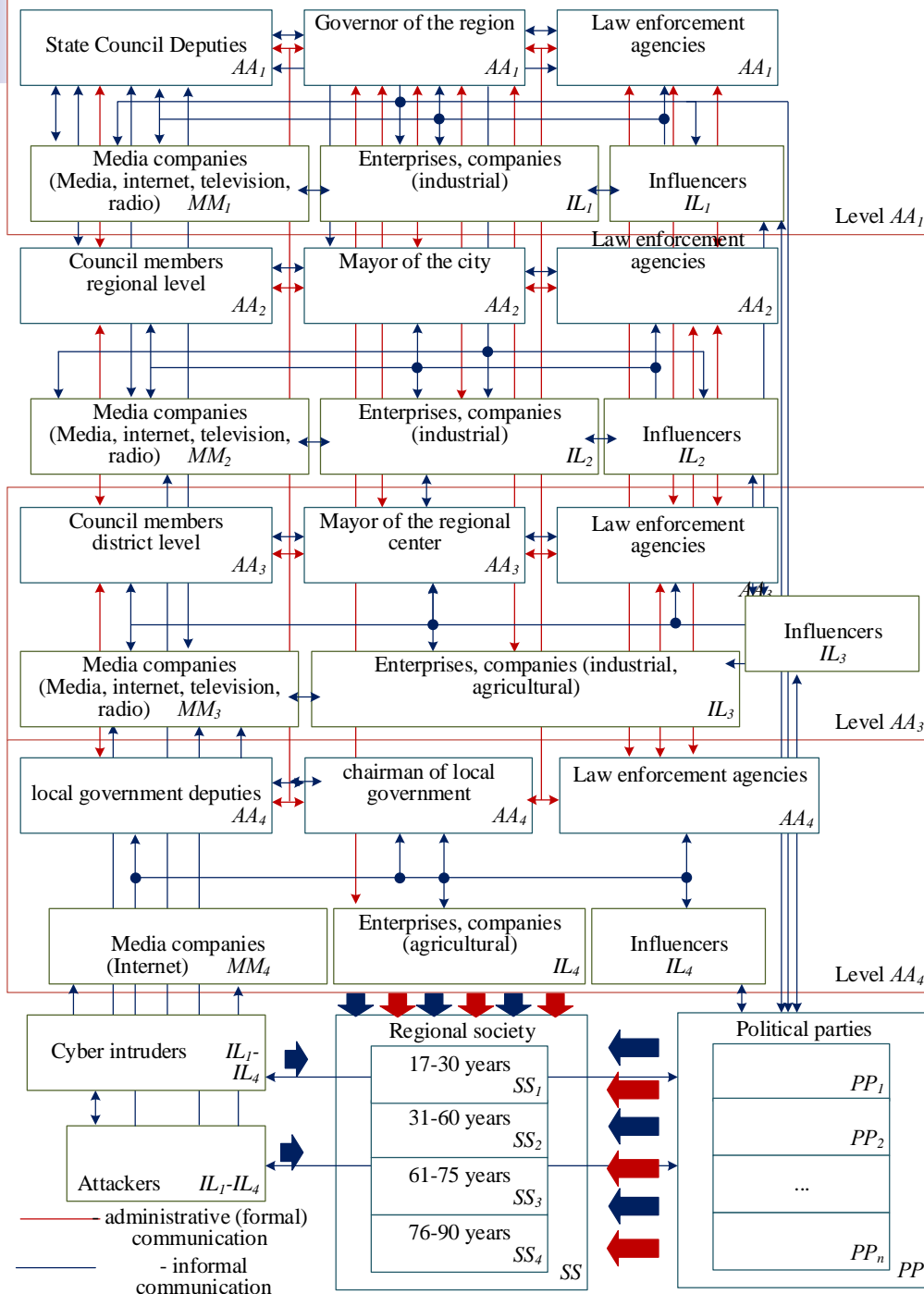
Niederreiter crypto-code construction on EC

Comparative characteristics of wireless and mobile Internet technologies

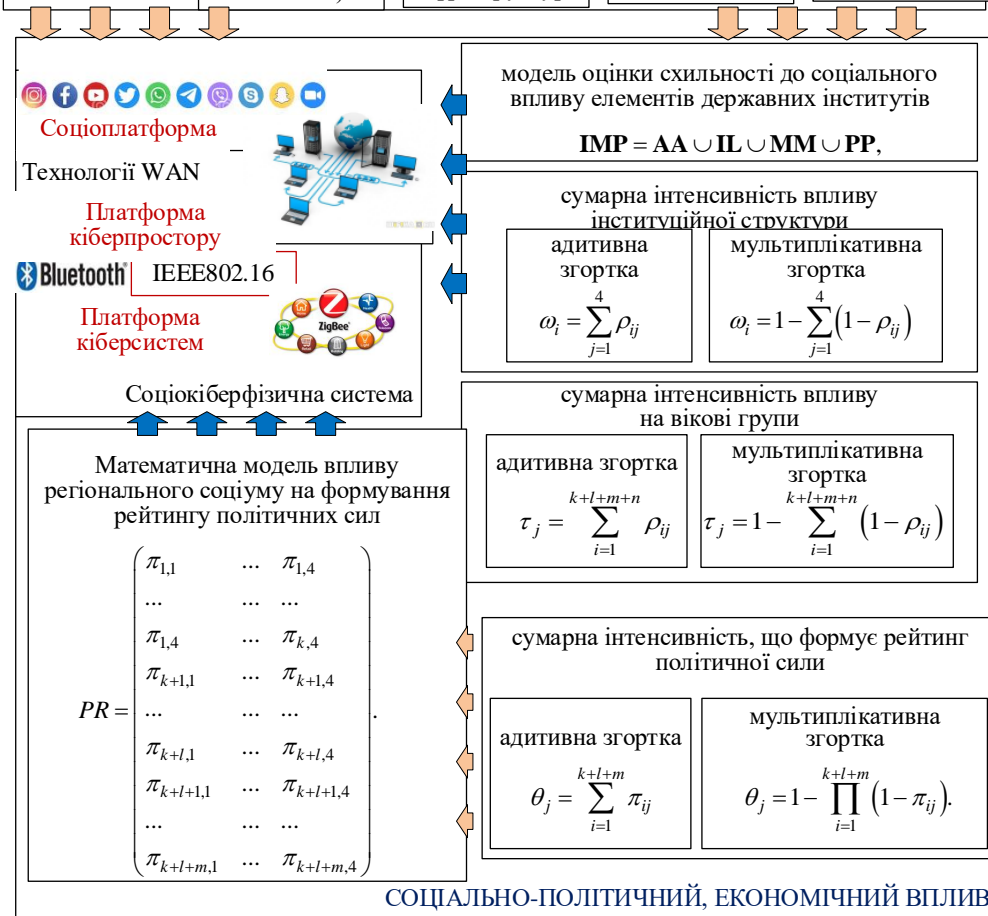
Technology	Provision of security services					The degree of information secrecy (β_i)				
	C	I	A	A _u	B	1,0	0,75	0,5	0,25	0,01
LTE (4G), LTE (5G)	–	–	+	–/+	–/+	–	–	–	–	–
IEEE 802.11 ac (Wi-Fi 5)	–	–	+	–/+	–/+	–	–	–	–	–
IEEE 802.11ax, Wi-Fi 6+KNX	–/+	–/+	+	–/+	–/+	–	–	–	+	+
IEEE 802.16+KNX	–/+	–/+	+	–/+	–/+	–	–	–	+	+
IEEE 802.16m (WiMAX2)	–/+	–/+	+	–/+	–/+	–	–	–	+	+
IEEE 802.15.1 Bluetooth 5+KNX	–/+	–/+	+	–/+	–/+	–	–	–	+	+
IEEE 802.15.4+KNX	–/+	–/+	+	–/+	–/+	–	–	–	+	+
Mobile technologies+ CCC EC(MEC)	+	+	+	+	+	+	+	+	+	+
Mobile technologies+ HCCC EC(MEC)	+	+	+	+	+	+	+	+	+	+
Mobile technologies+ CCC на LDPC	+	+	+	+	+	–	–	+	+	+



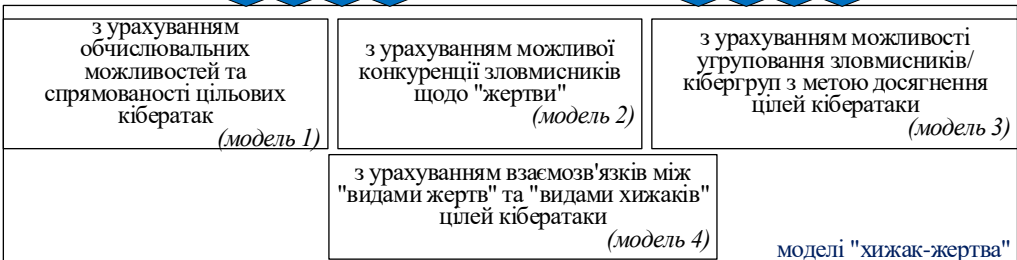
FORECASTING MODEL FOR ASSESSING SOCIAL IMPACT IN REGIONAL COMMUNITIES

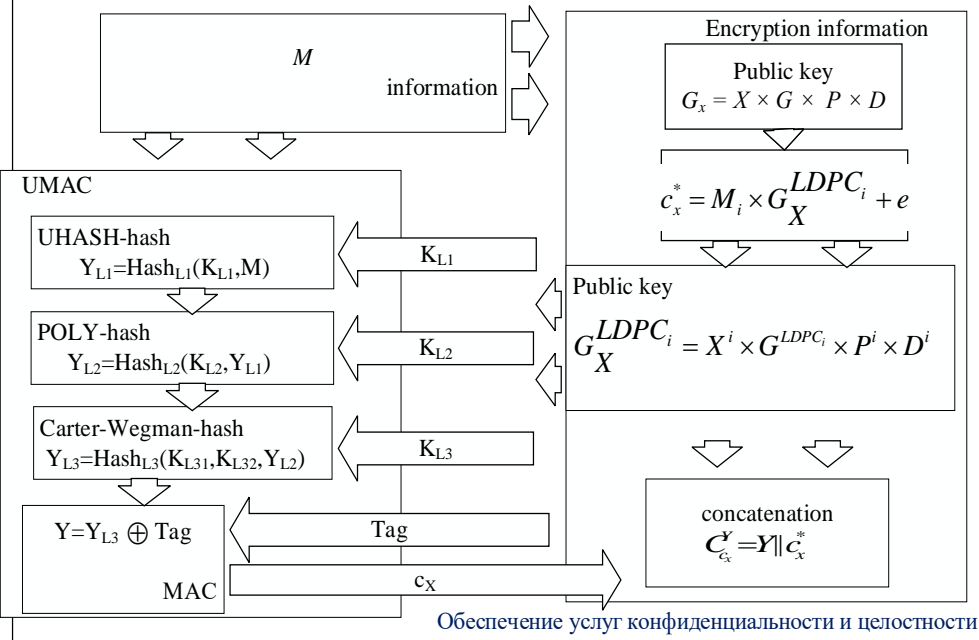


$PP = \{PP_1, PP_2, \dots, PP_n\}$ – множина політичних сил (партій, блоків;
 $IL = \{IL_1, IL_2, \dots, IL_l\}$ – множина неформальних лідерів регіональної громади;
 $MM = \{M_1, M_2, \dots, M_m\}$ – множина елементів медіа (media), до яких належать: засоби масової інформації;
 $SS = \{SS_1, SS_2, SS_3, SS_4\}$ – регіональна громада (соціум), представлена безліччю своїх вікових груп.

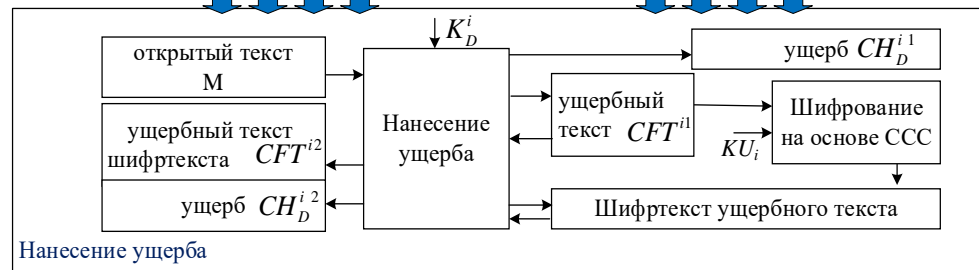


створення багато контурної системи безпеки інформації у соціальних інтернет сервісах та соціокіберфізичних систем в цілому, в основу якої покладено запропоновані концепцію побудови багатоконтурної безпеки, удосконалений універсальний класифікатор загроз,





методи забезпечення конфіденційності, цілісності та автентичності інформаційних ресурсів на крипто-кодових конструкціях Мак-Еліса на LDPC-кодах, метод прогнозування оцінки соціального впливу в регіональних спільнотах, метод оцінювання інформаційних ресурсів з урахуванням комплексного показника ефективності інвестицій в системи захисту інформаційних ресурсів у соціальних інтернет сервісах





Дякуємо за увагу!